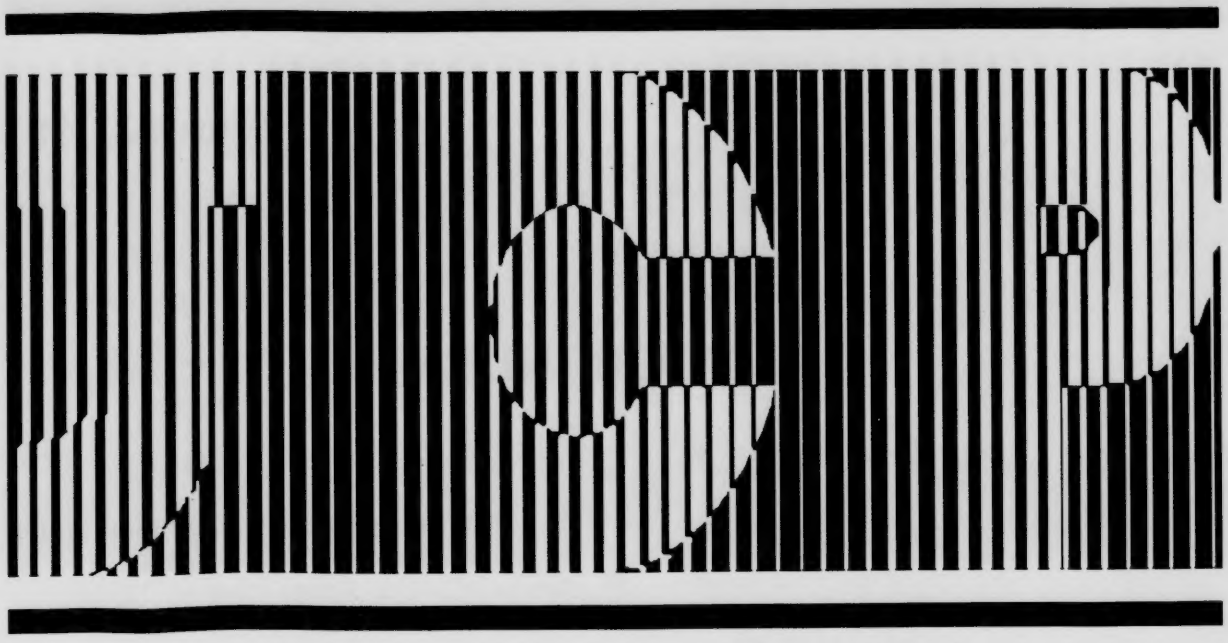

INDEX

Volume 88

1991

EDITIONS SCIENTIFIQUES
ELSEVIER

AUTHOR INDEX

A

Aamili A, Zambon D, Mahiou R, Cousseins JC, Transferts d'énergie $Gd^{3+} \rightarrow Tb^{3+}$, Eu^{3+} dans $LiNaY_2F_8$, 2321

Abbad B – *See* Nibou D *et al*, 2371

Abbé JC – *See* Didierjean F *et al*, 741

Abedinzadeh Z, Gardès-Albert M, Ferradini C, Bergès J, Caillet J, Langlet J, Mise en évidence de la formation d'un complexe entre le glutathion et l'eau oxygénée. Étude théorique de la structure de ce complexe, 1003

Aberdam D, Durand R, Faure R, Study of underpotential deposition on metal single crystals by surface techniques, 1519

Acher F – *See* Malhaire JP *et al*, 955

Addou M – ***, Kadiri A, Préparation de $Pb_{0,80}Nd_{0,20}F_{2,20}$ en couches minces par coévaporation thermique sous vide : études physico-chimiques, électriques et optiques, 249 – ***, Kadiri A, Ouazzani M, Hakam A, Salardenne J, Caractérisation — Étude électrique et optique de In_2O_3 en couches minces préparées par évaporation thermique réactive, 343

Adžić RR – *See* Tripković A *et al*, 1635

Agnel JP – *See* Triolet J *et al*, 1237

Aissi CF – *See* Hubaut R *et al*, 1741

Akroune A, Casalot A, Transition isolant-métal dans les oxyfluorures $V_{1-x}Co_xO_{2-2x}F_{2x}$, 2143

Aldaz A – *See* Feliu JM *et al*, 1493

Ali H – *See* Paquette B *et al*, 1113 – *See* Tran-Thi TH *et al*, 1151

Alvarez AF – *See* Nuñez-Vergara LJ *et al*, 71

Amblard J, Belloni J, Platzer O, Synthèse radiolytique et réactivité catalytique de nanoagrégats bimétalliques greffés sur diverses électrodes, 835

Ameta RC – *See* Ameta SC *et al*, 191

Ameta SC, Ameta RC, Bala M, Dubey TD, Use of toluidine blue - diethylene-triaminepenta-aceticacid (TB - DTPA) system in photogalvanic cell for solar energy conversion, 191

Amzil H – *See* M'Gafad N *et al*, 2211 – *See* Barhdadi *et al*, 2217 – *See* Muller JC *et al*, 2223

Andriamadio P, Nicole D, Cartier A, Wierzbicki M, Kirsch G, Hindered rotation around the amide bond in a series of derivatives of 2-acetamido-thiophenes, 689

Anis SS, Mansour MA, Khalil LH, Kinetics and mechanism of hydrogen peroxide decomposition by hydroxonitrilotri (methylenephosphonato) Mn (II), 643

Anselmino C – *See* Mouret JF *et al*, 1053

Aride J – ***, Ben-Bachir A, El-Kacemi K, Etman M, Kertit S, Srhiri A, Effet des traitements thermiques sur la résistance à la corrosion en HCl molaire de l'alliage amorphe Fe-B-Si-C. Efficacité inhibitrice du diorthoaminophénoldisulfate (DOAPD), 631 – *See* Belaiche M *et al*, 1713 – *See* Sassi O *et al*, 2191

Armand D, Rosinberg ML, A simple theoretical model for the hydrogen electrosorption on platinum in acid medium, 1401

Arnaud R, Jardon P, Enseignement : interaction entre orbitales. Cas de l'inversion $\sigma = \pi$ dans les diagrammes d'orbitales moléculaires des molécules diatomiques homonucléaires, 145

Arsalane S, Brochu R, Chassaing J, Quarton M, La solution solide $Mo_{1-x}Nb_xOPO_4$: synthèse, caractéristiques structurales, spectroscopiques et magnétiques, 1951

Ascarelli G, La notion de bande électronique dans les liquides : quelques questions que vous n'avez jamais osé poser, 817
Astrand PO, Wallqvist A, Karlström G, Intermolecular interactions of urea and water, 2457
Auffinger P, Wipff G, Quantitative studies on molecular recognition: free energy perturbation simulations on M_+ c 222 cryptates in water and in methanol, 2525
Avedikian AM, RMN du phosphore de nucléosides-5'-phosphate dianions dans l'eau : ce que révèle l'étude du déplacement chimique sur les associations UMP-AMP en milieu basique, 709
Avignant D – *See* Zambon D *et al*, 1963
Azerad R – *See* Malhaire JP *et al*, 955
Azzouz A – *See* Nibou D *et al*, 2371

B

Bacquet RJ – *See* Reddy MR *et al*, 2605
Bala M – *See* Ameta SC *et al*, 191
Balesdent D – *See* Barbillon P *et al*, 91
Banane EM – *See* Boumahmaza M *et al*, 2355
Barbillon P, Schuffenecker L, Dellacherie J, Balesdent D, Dirand M, Variation d'enthalpie subie de 260 K à 340 K par les n-paraffines, comprises entre l'octadécane (n-C_{18}) et l'hexacosane (n-C_{26}), 91
Barbouth N – *See* Vassilakis D *et al*, 209
Barhdadi A – ***, Amzil H, Stuck R, Ganter C, Muller JC, Siffert P, Effets des traitements thermiques sur les propriétés physico-chimiques des bicristaux de silicium, 2217 – *See* Muller JC *et al*, 2223
Barner BJ – *See* Lynch ML *et al*, 1271
Battesti C – *See* Triolet J *et al*, 1237
Baudoux G – *See* Vanderveken DJ *et al*, 2497
Bayot V – *See* Kinany-Alaoui M *et al*, 2001
Béguin CG – *See* Serratrice G *et al*, 55
Belaiche M, Drillon M, Aride J, Boukhari A, Biaz T, Legoll P, Application du modèle Heisenberg à la chaîne ferrimagnétique d'ions Cu(II) dans Cu_2OSO_4, 1713
Belkbir L – *See* Boumahmaza M *et al*, 2355
Belloni J – *See* Amblard J *et al*, 835
Ben-Bachir A – *See* Aride J *et al*, 631
Ben Cherifa A, Somrani S, Jemal M, Détermination de l'enthalpie standard de formation de la fluorapatite de l'hydroxyapatite et de la chlorapatite, 1893
Ben Said N – *See* Zambon D *et al*, 1963
Ben Yaich H – *See* Sergent M *et al*, 2123
Bénard JF – *See* Ravanat JL *et al*, 1069
Bencheikh A, Ziyad M, Pietrzyk S, Leclercq G, Hydrogénolyse de composés oxygénés sur des catalyseurs au fer, 2363
Benhamza H, Bouhaouss A, Josien FA, Livage J, Synthèse de matériaux phosphatés par de nouvelles méthodes basées sur le procédé sol – gel, 1875
Benjelloun D – *See* Bonnet JP *et al*, 2097 – ***, Bonnet JP, Launay JC, Onillon M, Propriétés électriques de monocristaux de composition $(Cr_{1-x}Fe_x)_2O_3$ avec O<x<1, 2149
Bentama J, Rafiq M, Durand J, Cot L, Transition α – β type quartz dans les solutions solides $Al_{(1-x)}Ga_xPO_4$ et $Al(PO_4)_{(1-y)}(AsO_4)_y$, 2291
Berger H – *See* Lévy F, 1985
Berger M – *See* Cadet J *et al*, 1021 – *See* Mouret JF *et al*, 1053 – *See* Ravanat JL *et al*, 1069
Berger R – *See* Haddad M *et al*, 2013
Bergès J – *See* Abedinzadeh Z *et al*, 1003
Berrada A – *See* Sassi O *et al*, 2191
Berry GM, Bothwell ME, Michelhaugh SL, McBride JR, Soriaga MP, Electrode-surface coordination/organometallic chemistry: iodine and carbon monoxide on well-ordered and oxidatively disordered Pd(111), 1591
Bertrand JR – *See* Letellier R *et al*, 2681
Biaz T – *See* Belaiche M *et al*, 1713
Binet C, Jadi A, Lavalley JC, Caractère donneur d'électrons de la cérine réduite : étude infrarouge de l'adsorption du tétracyanoéthylène, 499
Bisagni E – *See* Sekaki A *et al*, 977
Blázquez M – *See* Pineda T *et al*, 371
Blundell TL – *See* Hoffrén AM *et al*, 2659
Böcker J, Schlenkrich M, Nicklas K, Brickmann J, Bopp P, Molecular dynamics study of the interface amphiphile molecules/ionic solution, 2535
Boivin JC – *See* Wignacourt JP *et al*, 1933 – *See* Wignacourt JP *et al*, 1939 – *See*

El Harrak A *et al*, 2281
Bonati L, Fraschini E, Lasagni M, Pitea D, A comparative analysis of molecular electrostatic potentials of chlorinated dibenzo-*p*-dioxins in relation to their biological activity, 2631
Bonnefont-Rousselot D, Delattre J, Galli A, Gardès-Albert M, Ferradini C, Peroxydation des lipoprotéines de basse densité (LDL) par divers radicaux libres oxygénés produits par radiolyse gamma, 913
Bonnet JP – ***, Benjelloun D, Denage C, Ravez J, Onillon M, Céramiques de trioxyde de tungstène à propriétés électriques non linéaires : élaboration et caractérisation, 2097 – *See* Benjelloun D *et al*, 2149
Bonpunt L – *See* Oonk HAJ *et al*, 329 – *See* Cuevas Diarte MA *et al*, 509
Boorstein RJ, Hilbert TP, Cunningham RP, Cadet J, Teebor GW, Formation et stabilité des photohydrates pyrimidiniques dans l'ADN, 1043
Bopp P – *See* Böcker J *et al*, 2535
Bothwell ME – *See* Berry GM *et al*, 1591
Bouabane H – *See* Dusart O *et al*, 259
Boualam M – *See* Simon D *et al*, 351
Boucekkine A, Le Beuze A, Saillard JY, Lissillour R, Structure électronique de phosphures de métaux de transition, 2107
Boudon S, Wipff G, How important is water in the preorganization of polyammonium host molecules ? 2443
Bouguerra ML – *See* Medimagh MS, 451
Bouhaouss A – *See* Benhamza H *et al*, 1875 – *See* Britel O *et al*, 1901 – *See* Mikou M *et al*, 1911 – *See* Mikou M *et al*, 1925
Boukhari A – *See* Belaiche M *et al*, 1713 – *See* Lagrenee M *et al*, 2075 – *See* Diouri A *et al*, 2341
Boulon G, Nouveaux matériaux lasers, 2299
Boumahmaza M, Banane EM, Belkbir L, Jayaweera SAA, Gazéification d'un charbon du Maroc avec un mélange air/azote par thermogravimétrie, 2355
Bourezg R, Couturier G, Salardenne J, Élaboration par CVD de WSe_2 en couches minces, 1975
Bracconi P, Dufour LC, Étude cinétique de la réduction dans l'hydrogène d'oxydes spinelles de cobalt faiblement substitués par le chrome, 421
Brendle M – *See* Dong S *et al*, 1831
Brickmann J – *See* Böcker J *et al*, 2535
Bricogne G – *See* Simonson T *et al*, 2701
Briki F, Lavery R, Genest D, Ramstein J, Modelling the B-DNA base pair opening reaction, 2567
Britel O, Chamlal S, Bouhaouss A, Ferhat M, Lacout JL, Stabilité thermique de quelques apatites sous atmosphère de H_2S, 1901
Brochu R – *See* Arsalane S *et al*, 1951
Brünger A – *See* Simonson T *et al*, 2701
Buchko GW – *See* Ravanat JL *et al*, 1069
Buc H – *See* Yeramian E *et al*, 2717
Burget D, Jacques P, Interprétation des effets de solvants sur la fluorescence de la thioxanthone en fonction des paramètres solvatochromiques π^*, α et β, 675

C

Cadet J – ***, Berger M, Decarroz C, Mouret JF, van Lier JE, Wagner RJ, Oxydations radicalaires photo- et radio-induites des bases puriniques et pyrimidiniques des acides nucléiques, 1021 – *See* Boorstein RJ *et al*, 1043 – *See* Mouret JF *et al*, 1053 – *See* Ravanat JL *et al*, 1069
Caillet J – *See* Abedinzadeh Z *et al*, 1003 – *See* Langlet J *et al*, 2387
Caiolfa VR – *See* Menziani MC *et al*, 2687
Calvet T – *See* Cuevas Diarte MA *et al*, 509
Carreau M, Hunting DJ, Caractérisation des domaines génomiques réparés dans les cellules humaines XP-C, 1085
Carru JC, Tabourier P, Wacrenier JM, Étude de la relaxation diélectrique de 1 Hz à 10^9 Hz dans les zéolites A, X, Y, M, ZSM5, 307
Cartier A – *See* Andriamadio P *et al*, 689
Casalot A – *See* Akroune A, 2143
Castro B – *See* Chiche L *et al*, 2557
Cattani-Lorente M – *See* Geoffroy M, 1159
Caudron B – *See* Yeramian E *et al*, 2717
Cavaille JY – *See* Ngoma JB *et al*, 2275
Ceulemans J – *See* Strobbe M, 1167
Chachaty C, Soulie E, Wolf C, Some recent applications of computer simulations of ESR spectra to the dynamics of spin probes in gels and membranes, 153

Chamlal S – *See* Britel O *et al*, 1901
Champion B – *See* Filali-Mouhim A *et al*, 937
Chang SC, Hamelin A, Weaver MJ, New perspectives in electrochemical processes on single-crystal surfaces from real-time FTIR spectroscopy, 1615
Chanh NB – *See* Oonk HAJ *et al*, 329
Chassaing J – *See* Arsalane S *et al*, 1951
Chauvel P, Bases physiques, biologiques et cliniques de l'utilisation des ions légers en radiothérapie. Le projet EULIMA (European Light Ion Medical Accelerator), 1125
Chevrel R – *See* Sergent M *et al*, 2123
Chiche L, Heitz A, Padilla A, LeNguyen D, Castro B, Study of the conformation in solution of the trypsin binding loop of the synthetic bis-headed inhibitor TCPI. Combination of distance geometry, distance driven dynamics and restrained molecular dynamics, 2557
Chirico G, Langowski J, Calculating hydrodynamic properties of DNA through a second-order Brownian dynamics algorithm, 2561
Chorro M, Kamenka N, Description quantitative de l'agrégation micellaire dans les systèmes mixtes anionique-cationique, 515
Chrisment J, Delpuech JJ, Rajerison W, Acid and base catalyzed proton exchange on model oligopeptides in dimethyl sulphoxide, 1757
Christen MO – *See* Ruimy-Ifrah P *et al*, 907
Claverie P – *See* Yeramian E *et al*, 2717
Clavilier J, Rodes A, El Achi K, Zamakhchari MA, Electrochemistry at platinum single crystal surfaces in acidic media: hydrogen and oxygen adsorption, 1291
Colonna F – *See* Langlet J *et al*, 2387
Conflant P – *See* Wignacourt JP *et al*, 1933 – *See* Wignacourt JP *et al*, 1939 – *See* El Harrak A *et al*, 2281
Conway BE – *See* Jerkiewicz G, 1381
Coochi M – *See* Menziani MC *et al*, 2687
Corn RM – *See* Lynch ML *et al*, 1271
Coronado E, Magneto-structural correlations in low dimensional ferrimagnetic systems, 2167
Corriou JP, Iordache O, Tondeur D, Classification of biomolecules by information entropy, 2645
Cosentino U, Moro G, Pitea D, Similarity of molecular electrostatic potential distributions in a series of HMG-CoA reductase inhibitors. Preliminary results, 2639
Cot L – *See* Loukili M *et al*, 1975 – ***, Les membranes inorganiques : une nouvelle classe de matériaux céramiques, 2083 – *See* Bentama J *et al*, 2291
Coulombeau C – ***, Rassat A, Isomères du footballène : une première famille de 71 isomères ayant 12 cycles pentagonaux et 20 cycles hexagonaux, 173 – ***, Rassat A, Étude de 74 agrégats carbones isomères en C_{60} par la méthode de Hueckel, 665 – *See* Gordon-Beresford RMH *et al*, 2653
Courtieu J – *See* Ouvrard JM *et al*, 271
Cousseins JC – *See* Aamili A *et al*, 2321
Couturier G – *See* Bourezg R *et al*, 1975
Creuzet S – *See* Langlet J *et al*, 2387 – ***, Langlet J, Gresh N, Adjustment of the SIBFA method for potential maps to study hydrogen bonding vibrational frequencies, 2399
Csizmadia IG – *See* Loos M *et al*, 2465 – *See* Viviani W *et al*, 2505
Cuevas Diarte MA – *See* Oonk HAJ *et al*, 329 – ***, Calvet T, Labrador M, Estop E, Oonk HAJ, Bonpunt L, Haget Y, Coefficients of molecular homeomorphism and crystalline isomorphism in the series of para-disubstituted benzene derivatives, 509
Cunningham RP – *See* Boorstein RJ *et al*, 1043

D

Daele V – *See* Lançar IT *et al*, 177
Damien JC – *See* Lahlaouti ML *et al*, 2031
Dansette P – *See* Ruimy-Ifrah P *et al*, 907
Daoud A – *See* Mhiri T *et al*, 2255
Darriet J – *See* le Lirzin A *et al*, 2173
De Benedetti PG – *See* Menziani MC *et al*, 2687
Decarroz C – *See* Cadet J *et al*, 1021
Dejonghe S – *See* Hubaut R *et al*, 1741
Delalu H, Marchand A, Modélisation générale des processus réactionnels intervenant au cours de la synthèse

de la diméthylhydrazine asymétrique par le procédé Raschig. Quantification des produits de dégradation (hydrazone). II. Corrélations physiques entre l'état initial et l'état final. Optimisation dans des conditions de concentrations industrielles, 115
Delamoye P – *See* Krupa JC, 2327
Delattre J – *See* Bonnefont-Rousselot D *et al*, 913
Delcourt MO – *See* Remita H *et al*, 845 – *See* Keghouche *et al*, 855
Dellacherie J – *See* Barbillon P *et al*, 91
Delpuech JJ – *See* Chrisment J *et al*, 1757
Denage C – *See* Bonnet JP *et al*, 2097
Derai R – *See* Remita H *et al*, 845
Dessureault Y, Pelton AD, Contribution to the quasichemical model of reciprocal molten salt solutions, 1811
Devasagayam TPA – *See* Di Mascio P *et al*, 1061
Dianoux AJ – *See* Guillaume F *et al*, 1721
Didierjean F, Duplâtre G, Abbé JC, Captures successives de particules par des composés halogénés et détachement d'halogénure dans la grappe du positon, 741
Diouri A, Ouichou L, Boukhari A, Interaction charge-briques réfractaires en magnésie spinelle dans un four industriel à ciment, 2341
Di Mascio P, Sundquist AR, Devasagayam TPA, Kaiser S, Sies H, Signification biologique de l'oxygène moléculaire singulet : génération chimique, désactivation par des molécules biologiques et coupures franches de l'ADN, 1061
Dirand M – *See* Barbillon P *et al*, 91
Domínguez M – *See* Pineda T *et al*, 371
Doncker J (de) – *See* Tilquin B, 1195
Dong S, Brendle M, Donnet JB, Influence du traitement thermique sur les propriétés de surface des fibres de carbone ex-mésophase, 1831
Donnet JB – *See* Dong S *et al*, 1831
Drache M – *See* Wignacourt JP *et al*, 1933 – *See* Wignacourt JP *et al*, 1939 – *See* Lorriaux-Rubbens A *et al*, 2041 – *See* Lorriaux-Rubbens A *et al*, 2057 – *See* El Harrak A *et al*, 2281
Drillon M – *See* Belaiche M *et al*, 1713 – ***, Magneto-structural correlations in some 1D exotic systems, 2157
Dubey TD – *See* Ameta SC *et al*, 191
Ducancel F – *See* Quéinnec E *et al*, 927
Dudeck MA – *See* Fan WX *et al*, 27
Dufour LC – *See* Bracconi P, 421
Dumas JP – *See* Sassi O, 2035
Duplâtre G – ***, Physicochimie du positonium et chimie sous rayonnement, 731 – *See* Didierjean F *et al*, 741
Durand J – *See* Loukili M *et al*, 1975 – *See* Bentama J *et al*, 2291
Durand R – *See* Aberdam D *et al*, 1519
Durant F – *See* Vanderveken DJ *et al*, 2497
Dusart O, Bouabane H, Mazet M, Adsorption sur charbon actif d'acides aminés dans l'eau : détermination de paramètres d'équi-libre par différentes équations, 259
Dyachkov VI, Oxidation of titanium in steam atmosphere within the temperature range of 300-1200°C, 233

E

El Achi K – *See* Clavilier J *et al*, 1291
El Amane M, Maisonnat A, Poilblanc R, Étude d'une réaction des complexes dinucléaires de l'iridium $Ir_2(\mu\text{–}RC = CR)(\mu\text{–}S\text{–}t\text{–}C_4H_9)(\mu\text{–}X)(CO)_2(PPh_3)_2$ (X = S–t–C_4H_9 ou CF_3CO_2 ; R = CH_3CO_2 ou CF_3), 2067
El Feki H, Khattech I, Jemal M, Décomposition thermique de fluorapatites carbonatées sodées, 1885
El-Ghozzi M – *See* Zambon D *et al*, 1963
El Harrak A, Conflant P, Drache M, Boivin JC, Stabilité et propriétés électriques de phases conductrices anioniques du système Bi_2O_3–CaO–PbO, 2281
El-Kacemi K – *See* Aride J *et al*, 631
Elammari L, Elouadi B, Structure cristalline de $RbZnPO_4$, 1969
Elouadi B – *See* Elammari L, 1969 – ***, Étude comparative de la non-stœchiométrie et des propriétés ferroélectriques de phases dérivées de $LiMO_3$ (M = Nb,Ta), 2229
Estop E – *See* Cuevas Diarte MA *et al*, 509
Etman M – *See* Aride J *et al*, 631

F

Fan WX, Dudeck MA, A study of concen-

trations in a nitrogen plasma under thermal unbalanced conditions, 27
Faraggi M, Klapper MH, Transfert électronique intramoléculaire à longue distance dans les peptides et protéines, 1009
Faure R – *See* Aberdam D *et al*, 1519
Favaudon V, Tourbez H, Houée-Levin C, Lhoste JM, Clivage radiolytique des ponts disulfure des protéines, 993
Feliu JM, Fernandez-Vega A, Orts JM, Aldaz A, The behaviour of lead and bismuth adatoms on well-defined platinum surfaces, 1493
Ferhat M – *See* Britel O *et al*, 1901 – *See* Nadir S *et al*, 1919
Fernandez-Vega A – *See* Feliu JM *et al*, 1493
Ferradini C – *See* Keszei E *et al*, 759 – ***, Apports de la chimie des rayonnements à la chimie bioradicalaire, 873 – *See* Ruimy-Ifrah P *et al*, 907 – *See* Bonnefont-Rousselot D *et al*, 913 – *See* Quéinnec E *et al*, 927 – *See* Filali-Mouhim A *et al*, 937 – *See* Malhaire JP *et al*, 945 – *See* Santiard D *et al*, 967 – *See* Malhaire JP *et al*, 955 – *See* Sekaki A *et al*, 977 – *See* Abedinzadeh Z *et al*, 1003
Field MJ – *See* Garen J *et al*, 2587
Filali-Mouhim A, Champion B, Jore D, Hickel B, Ferradini C, Réduction radiolytique du nifurtimox par les radicaux libres $CO_2^{\cdot-}$, 937
Fleischman SH, Zichi DA, Free energy simulations of methane solvation: a study of integrand convergence properties using thermodynamic integration, 2617
Fortin ER, Roth AP, Quelques propriétés optiques et électro-optiques des super-réseaux et puits quantiques semiconducteurs InGaAs/GaAs, 2197
Foulon M – *See* Lahlaouti ML *et al*, 2031
Fraschini E – *See* Bonati L *et al*, 2631
Freeman GR, Thermalisation et mobilité des électrons en excès dans les liquides diélectriques, 803
Fritsch V, Westhof E, Molecular dynamics simulations of DNA oligomers under various electrostatic parameters, 2543

G

Gabarro-Arpa J – *See* Le Bret M *et al*, 2489
Galli A – *See* Bonnefont-Rousselot D *et al*, 913
Ganter C – *See* Barhdadi *et al*, 2217
García-Blanco F – *See* Pineda T *et al*, 371
Garcia-Ponce AL – *See* Jiménez-López A, 1957
Gardès-Albert M – ***, Quelques aspects du rôle de l'anion superoxyde en chimie bioradicalaire, 889 – *See* Bonnefont-Rousselot D *et al*, 913 – *See* Quéinnec E *et al*, 927 – *See* Malhaire JP *et al*, 945 – *See* Malhaire JP *et al*, 955 – *See* Sekaki A *et al*, 977 – *See* Abedinzadeh Z *et al*, 1003
Garel T, Niel JC, Orland H, Velikson B, A new Monte Carlo method to study protein structures, 2473 – ***, Niel JC, Orland H, Smith J, Velikson B, Comparison of a new Monte Carlo peptide conformational search procedure with high temperature molecular dynamics, 2479
Garen J, Field MJ, Kneller G, Karplus M, Smith J, Torsional motions of methyl and ammonium groups in the L-alanine crystal: a comparison of molecular dynamics and normal mode calculations, 2587
Gaspard S – *See* Tran-Thi TH *et al*, 1151
Genest D – *See* Briki F *et al*, 2567 – *See* Genest M *et al*, 2573
Genest M, Stawarz B, Genest D, Molecular modeling using NOE intensity constraints, 2573
Geoffroy M, Cattani-Lorente M, Réactions radicalaires dans un monocristal de diphosphène irradié : étude par résonance paramagnétique électronique, 1159
Georges R – *See* le Lirzin A *et al*, 2173
Gharbage S – *See* Haddad M *et al*, 2013
Gibrat JF, Gō N, Normal mode analysis of human lysozyme: study of the relative motion of the two domains and characterization of the harmonic motion, 2581
Gilbert JC – *See* Le Bret M *et al*, 2489
Gilbert RG – *See* Menziani MC *et al*, 2687
Gordon-Beresford RMH, Coulombeau C, Wodak SJ, Modelling enzyme-oligonucleotide interactions in barnase, 2653
Gougeon P – *See* Sergent M *et al*, 2123
Goulet T – *See* Keszei E *et al*, 759
Goyffon M – *See* Quéinnec E *et al*, 927
Gō N – *See* Gibrat JF, 2581

Green NJB, Cinétiques rapides dans les liquides sous rayonnement : aspects théoriques, 791
Gresh N – *See* Creuzet S *et al*, 2399
Grimblot J – *See* Hubaut R *et al*, 1741
Guba W, Müller G, Kessler H, Rational drug design *via* molecular dynamics simulations of HIV-1 protease inhibitor complexes, 2551 – *See* Guba W *et al*, 2551
Guermouche MH – *See* Touabet A, 487
Gui JY – *See* Hubbard AT *et al*, 1547
Guillaume F, Sourisseau C, Dianoux AJ, Rotational and translational motions of *n*-nonadecane in the urea inclusion compound as evidenced by incoherent quasielastic neutron scattering, 1721
Guinet Y – *See* Lahlaouti ML *et al*, 2031

H

Haddad M, Berger R, Servant Y, Levasseur A, Gharbage S, Résonance paramagnétique électronique de sulfures de molybdène amorphes, 2013
Hafid M, Kugel GE, Kania A, Roleder K, Influence of the niobium ions on the structural phase transitions of $AgTa_{1-x}Nb_xO_3$ solid solutions, 2249
Haget Y – *See* Oonk HAJ *et al*, 329 – *See* Cuevas Diarte MA *et al*, 509
Hakam A – *See* Addou M *et al*, 343
Hamar-Thibault S, Masson J, Nickel divided catalysts in the NiMo system: correlation between parent alloy-catalyst, 219
Hamelin A – ***, Superficial structure of gold and silver faces and adsorption from liquid phase, 1453 – *See* Chang SC *et al*, 1615
Hamieh T, Siffert B, Interactions between particles in suspension : application to coal-water suspensions, 537
Heitz A – *See* Chiche L *et al*, 2557
Hess O – *See* Langlet J *et al*, 2387
Heusler KE, Relations of the surface structure to the kinetics of metal electrodes, 1675
Hickel B – *See* Filali-Mouhim A *et al*, 937 – *See* Sekaki A *et al*, 977 – ***, Quelques problèmes concernant la radiolyse de l'eau liquide à haute température : application aux réacteurs nucléaires, 1177
Hilbert TP – *See* Boorstein RJ *et al*, 1043
Hoffrén AM, Saloheimo M, Thomas P, Overington J, Johnson MS, Blundell TL, Modelling the lignin peroxidase LIII of *Phlebia radiata* using a knowledge based approach, 2659 – *See* Hoffren AM *et al*, 2659
Honbo H, Itaya K, *In situ* scanning tunneling microscopy of electrochemical oxidation of single crystal Au(100) surface in aqueous solution, 1477
Houée-Levin C – ***, Réactions radicalaires de la daunorubicine, 897 – *See* Santiard D *et al*, 967 – *See* Sekaki A *et al*, 977 – *See* Favaudon V *et al*, 993
Hssein K, Sevely J, Zanchi G, Kihn Y, Caractérisation du carbure de silicium par les techniques de la spectroscopie de pertes d'énergie d'électrons (EELS) en microscopie électronique par transmission, 2335
Hubaut R, Aissi CF, Dejonghe S, Grimblot J, ESR identification of vanadium species deposited on Al_2O_3 and MoS_2-Al_2O_3 catalysts: relevance to catalytic demetallation of vanadyl porphyrin, 1741
Hubbard AT, Gui JY, Molecular chemistry at well-defined surfaces, 1547
Hunting DJ – *See* Carreau M, 1085 – *See* Larone G, 1095

I

Ihmaine S – ***, Quemerais A, Perrin C, Sergent M, Cristallochimie et propriétés physiques de chlorures de niobium ou de tantale à motifs $(Me_6Cl_{18})^{n-}$ et contenant des terres rares, 1993 – *See* Sergent M *et al*, 2123
Iordache O – *See* Corriou JP *et al*, 2645
Issi JP – *See* Kinany-Alaoui M *et al*, 2001
Itaya K – *See* Honbo H, 1477
Izquierdo R – *See* Pineda T *et al*, 371

J

Jabry E – *See* Saadi L *et al*, 2347

Jacques P – *See* Burget D, 675
Jadi A – *See* Jadi A *et al*, 499
Jardon P – *See* Arnaud R, 152
Jay-Gerin JP – *See* Keszei E *et al*, 759
Jayaweera SAA – *See* Boumahmaza M *et al*, 2355
Jemal M – *See* El Feki H *et al*, 1885 – *See* Ben Cherifa A *et al*, 1893
Jerkiewicz G, Conway BE, Time-evolution of structures of quenched Pt(111) electrode surfaces upon potential cycling, 1381
Jezequel D, Mayaffre A, Letellier P, Comportement des surfactifs cationiques dans le nitrate d'éthylammonium pur fondu, et ses mélanges avec l'eau, à 298K. Étude potentiométrique, 391
Jiménez-López A – ***, Garcia-Ponce AL, Synthèse et réactivité des phosphates mixtes de niobium – vanadium, 1957 – *See* Rodríguez-Castellón E *et al*, 2007
Jimeno F – *See* Nuñez-Vergara LJ *et al*, 71
Johnson MS – *See* Hoffrén AM *et al*, 2659
Joly G – *See* Tessa N *et al*, 603 – ***, Tessa N, Tyburce B, Comparaison des mesures gravimétriques de diffusion intracristalline et des vitesses d'échange de traceur dans une mordénite protonique, 615
Jore D – *See* Ruimy-Ifrah P *et al*, 907 – *See* Filali-Mouhim A *et al*, 937
Josien FA – *See* Benhamza H *et al*, 1875
Jung JM, Klein J, Voltz R, Spectre d'excitation de la photoionisation en milieu liquide organique, 779

K

Kadiri A — *See* Addou M, 249 – *See* Addou M *et al*, 343
Kaiser S – *See* Di Mascio P *et al*, 1061
Kamenka N – *See* Chorro M, 515
Kamoun M – *See* Mhiri T *et al*, 2255
Kania A – *See* Hafid M *et al*, 2249
Karlström G – *See* Astrand PO *et al*, 2457
Karplus M – *See* Stote RH *et al*, 2419 – *See* Garen J *et al*, 2587
Keghouche N, Mostafavi M, Delcourt MO, Étude des systèmes aqueux Ag^{+}/APA (acide polyacrylique), et Ag^{0}/APA à l'équilibre, 855
Kelterbaum R – *See* Kochanski E *et al*, 2451
Kertit S – *See* Aride J *et al*, 631
Kessler H – *See* Guba W *et al*, 2551
Keszei E, Goulet T, Jay-Gerin JP, Ferradini C, L'hydratation de l'électron : questions et controverses, 759
Khalil LH – ***, The decomposition kinetics of sodium perborate catalysed by ethylenediaminetetrakis (methylenephosphonato) iron (III), 201 – *See* Anis SS *et al*, 643
Khattech I – *See* El Feki H *et al*, 1885
Kihn Y – *See* Hssein K *et al*, 2335
Kinany-Alaoui M, Piraux L, Bayot V, Issi JP, Pernot P, Vangélisti R, Conductivité électrique et thermique des composés du graphite insérés aux réactifs magnétiques, 2001
Kirsch G – *See* Andriamadio P *et al*, 689
Klapper MH – *See* Faraggi M, 1009
Klassen NV, Les espèces primaires dans l'eau irradiée, 747
Klein J – *See* Jung JM *et al*, 779
Kneller G – *See* Garen J *et al*, 2587
Kneller GR, Quaternions as a tool for the analysis of molecular systems, 2709
Kochanski E, Rahmouni A, Kelterbaum R, Wiest R, Wormer PES, Langlet J, Are clusters a step towards our knowledge of liquids? The case of protonated hydrates, 2451
Kozlowska-Milner E, Effets cationiques dans la radiolyse pulsée des solutions nitrates : thallium (I), 1147
Krupa JC, Delamoye P, Spectroscopie optique de l'uranium tétravalent dans les phases incommensurables, 2327
Kugel GE – *See* Hafid M *et al*, 2249
Kuutti L, Laaksonen L, Teeri TT, Interaction studies of the rail domain of cellobiohydrolase I and crystalline cellulose using molecular modelling, 2663

L

Laaksonen L – *See* Kuuti L *et al*, 2663
Labrador M – *See* Cuevas Diarte MA *et al*, 509
Lacout JL – *See* Britel O *et al*, 1901 – *See* Mikou M *et al*, 1911 – *See* Nadir S *et al*, 1919 – *See* Mikou M *et al*, 1925

Lagrenee M, Sueur S, Wignacourt JP, Mernari B, Boukhari A, Structure et interactions magnétiques de composés polymétalliques de basse dimensionnalité, 2075
Lahlaouti ML, Damien JC, Muller M, Foulon M, Guinet Y, Étude des phases solides et vitreuses de l'hydrazine et des mélanges hydrazine – eau, 2031
Lamaty G, Mary F, Roque JP, Acétylation des alcools par l'anhydride acétique en présence de N, N-diméthylamino-4 pyridine (DMAP). Influence des équilibres acido-basiques sur le mécanisme de la réaction, 1793
Lamy C, Léger JM, Electrocatalytic oxidation of small organic molecules at platinum single crystals, 1649
Lançar IT, Daele V, Le Bras G, Poulet G, Étude de la réactivité des radicaux NO_3 avec le diméthyl-2,3 butène-2, le butadiène-1,3 et le diméthyl-2,3 butadiène-1,3, 1777
Langlet J – *See* Abedinzadeh Z *et al*, 1003 – ***, Creuzet S, Caillet J, Colonna F, Hess O, Anisotropy of first-order exchange (repulsion) term in different $H_2..H_2$ dimers, 2387 – *See* Creuzet S *et al*, 2399 – *See* Kochanski E *et al*, 2451
Langowski J – *See* Chirico G, 2561
Lantz JM – *See* Lynch ML *et al*, 1271
Larone G, Hunting DJ, Purification de fragments d'ADN humain contenant une zone de réparation par excision, 1095
Lasagni M – *See* Bonati L *et al*, 2631
Laughton CA, Neidle S, DNA triple helices. A molecular dynamics study, 2597
Launay JC – *See* Benjelloun D *et al*, 2149
Lavalley JC – *See* Jadi A *et al*, 499
Lavery R – *See* Briki F *et al*, 2567
Le Beuze A – *See* Boucekkine A *et al*, 2107
Le Bras G – *See* Lançar IT *et al*, 177
Le Bret M, Gabarro-Arpa J, Gilbert JC, Lemaréchal C, MORCAD, an object-oriented molecular modelling package running on IBM RS/6000 and SGI 4Dxxx workstations, 2489
Leclercq G – *See* Bencheikh A *et al*, 2363
Lecomte M, Viana B, Sanchez C, Propriétés optiques de sondes organiques (Rhodamine 6G, Coumarine 4) et inorganiques (Eu(III), Nd (III)) dans les gels à base d'oxyde de métaux de transition, 39
Léger JM – *See* Lamy C, 1649
Legoll P – *See* Belaiche M *et al*, 1713
Lemaréchal C – *See* Le Bret M *et al*, 2489
LeNguyen D – *See* Chiche L *et al*, 2557
Leroy G – *See* Peeters D, 411
Letellier P – *See* Jezequel D *et al*, 391
Letellier R, Taillandier E, Bertrand JR, Malvy C, Molecular mechanical study of the insertion of 9-aminoellipticine in DNA containing true abasic sites, 2681
Levasseur A – *See* Haddad M *et al*, 2013
Lévy F, Berger H, Phases à structures cristallines de basse dimensionnalité : synthèse des cristaux $NbTe_4$ et $TaTe_4$, 1985
Lhoste JM – *See* Favaudon V *et al*, 993
Lipskier JF – *See* Tran-Thi TH *et al*, 1151
Lirzin A (le), Soubeyroux JL, Tressaud A, Georges R, Darriet J, Systèmes magnétiques de basse dimensionnalité dans des fluorures de type usovite et jarlite, 2173
Lissillour R – *See* Boucekkine A *et al*, 2107
Little JB, Rôle de la distribution d'énergie dans l'ADN sur la mutagenèse des radiations ionisantes, 1077
Livage J – *See* Benhamza H *et al*, 1875
Loos M, Rivail JL, Csizmadia IG, Macromolecular environment effect on: breaking and making of S — S linkages *via* nucleophilic substitution, 2465
Lorriaux-Rubbens A – ***, Wignacourt JP, Drache M, Wallart F, Investigations structurales des composés $K_{3-x}[InX_{6-x}(H_2O)_x,nH_2O]$. I. Étude cristallographique (X = Br); comparaison des distances indium – ligand (X = Cl, Br), 2041 – ***, Wignacourt JP, Drache M, Wallart F, Investigations structurales des composés $K_{3-x}[InX_{6-x}(H_2O)_x,nH_2O]$. II. Étude spectroscopique par diffusion Raman (X = Br), 2057
Loukili M, Rafiq M, Durand J, Cot L, Structure cristalline de $LaH(PO_3H)_2{\cdot}3H_2O$. Comparaison avec les autres phosphites acides, 1975
Lynch ML, Barner BJ, Lantz JM, Corn RM, *In situ* second harmonic generation studies of bisulfate adsorption at well-ordered Pt(111) and Pt(100)

electrodes, 1271

M

M'Gafad N, Amzil H, Pasquenelli M, Distribution des états d'interface et centres piégés associés aux joints de grains dans du silicium polycristallin : effets des recuits thermiques, 2211
M'halla J, A new derivation of classical diffusion equations from the principle of least action, 1
Macchi F – *See* Ngoma JB *et al*, 2275
Mahiou R – *See* Aamili A *et al*, 2321
Maireles-Torres P – *See* Rodríguez-Castellón E *et al*, 2007
Maisonnat A – *See* El Amane M *et al*, 2067
Malhaire JP, Gardès-Albert M, Ferradini C, Sabourault D, Ribière C, Inactivation de la catalase par des radicaux libres dérivés de l'oxygène par radiolyse γ, 945
Malvy C – *See* Letellier R *et al*, 2681
Mansouri I – *See* Zambon D *et al*, 1963
Mansour MA – *See* Anis SS *et al*, 643 – ***, The kinetics and mechanism of the reaction of ethylene-diamine-tetraaceto manganese (II) and peroxydisulphate ion in aqueous acidic solutions, 653
Mansuy D – *See* Ruimy-Ifrah P *et al*, 907
Marchand A – *See* Delalu H, 115
Marcus P – *See* Protopopoff E, 1423 – ***, The role of alloyed elements and adsorbed impurities in passivation of metal surfaces, 1697
Marignier JL, Reconstitution du premier procédé photographique mis au point par Joseph Nicéphore Niépce vers 1829, 865
Mary F – *See* Lamaty G *et al*, 1793
Masson J – *See* Hamar-Thibault S, 219
Mayaffre A – *See* Jezequel D *et al*, 391
Mazet M – *See* Dusart O *et al*, 259
McBride JR – *See* Berry GM *et al*, 1591
Medimagh MS, Bouguerra ML, Mécanisme et cinétique de la réaction globale d'oxydation du naphtalène en milieu sulfate-disulfate fondu à 425°C et en présence de pentoxyde de vanadium, 451
Mehler EL, Solmajer TJ, Electrostatic screening in proteins, 2411
Mellier A, Thermotropic behaviour of phospholipid-water multibilayers. Infrared study of effects of grisorixin on dipalmitoylphosphatidylcholine/D_2O main phase transition, 377
Menziani MC, Coochi M, De Benedetti PG, Gilbert RG, Richards WG, Zamai M, Caiolfa VR, A theoretical study of the structure of big endothelin, 2687
Mernari B – *See* Lagrenee M *et al*, 2075
Mhiri T – ***, Kamoun M, Daoud A, Étude des transitions de phase cristalline dans le diammonium potassium hydrogène disulfate $(NH_4)_2$ $KH(SO_4)_2$, 2255 – ***, Transitions de phase dans les matériaux conducteurs protoniques superioniques $Cs_{1-x}M_xHSO_4$, 2265
Michelhaugh SL – *See* Berry GM *et al*, 1591
Mikou M – ***, Bouhaouss A, Lacout JL, Sur la carbonatation des apatites contenant des ions lanthane, 1911 – ***, Lacout JL, Bouhaouss A, Synthèse, étude physico-chimique et comparaison des apatites sulfurées aux terres rares, 1925
Molina FV, Parsons R, Electroreflectance of well-defined Pt surfaces, 1339
Mollier H – *See* Serratrice G *et al*, 55
Moro G – *See* Cosentino U *et al*, 2639
Mostafavi M – *See* Keghouche *et al*, 855
Mouret JF – *See* Cadet J *et al*, 1021, Berger M, Anselmino C, Polverelli M, Cadet J, Étude comparative de l'oxydation radicalaire de l'ADN et de ses nucléosides par les radicaux hydroxyles et les ions ferryles issus de la réaction de Fenton, 1053
Moussa R – *See* Saadi L *et al*, 2347
Moya G – *See* Sassi O *et al*, 2191
Muller JC – *See* Barhdadi *et al*, 2217 – ***, Siffert P, Barhdadi A, Amzil H, Passivation des impuretés et des défauts du silicium par implantation d'ions hydrogène, 2223
Muller M – *See* Lahlaouti ML *et al*, 2031
Müller G – *See* Guba W *et al*, 2551

N

Nadir S, Lacout JL, Ferhat M, Comportement thermique de

l'hydroxyapatite en présence de divers oxydes, 1919
Neidle S – *See* Laughton CA, 2597
Ngoma JB, Cavaille JY, Paletto J, Perez J, Macchi F, Propriétés diélectriques et piézoélectriques d'un composite $PbTiO_3$ / Copolymère type 0-3, 2275
Nguyen Van Binh E, Gardès-Albert M, Ferradini C, Acher F, Azerad R, Activation radicalaire d'un modèle de vitamine K par les radicaux OH° et N_3°. Étude par radiolyse γ, 955
Nibou D, Abbad B, Azzouz A, Synthèse de l'analcime et caractérisation par DRX, MEB et MET, 2371
Nicklas K – *See* Böcker J *et al*, 2535
Nicolas F – *See* Serratrice G *et al*, 55
Nicole D – *See* Andriamadio P *et al*, 689
Niel JC – *See* Garel T *et al*, 2473 – *See* Garel T *et al*, 2479
Nordmann R – *See* Santiard D *et al*, 967
Nuñez-Vergara LJ, Alvarez AF, Ramos M, Jimeno F, Squella JA, GSH: Electrochemical assessment of adduct formation with nimodipine and propanolol, 71

O

Ohlenbusch HH, Macromolecular graphics of DNA, a tool of genetic architecture, 2695
Olivera-Pastor P – *See* Rodríguez-Castellón E *et al*, 2007
Onillon M – *See* Bonnet JP *et al*, 2097 – *See* Benjelloun D *et al*, 2149
Oonk HAJ – ***, van der Linde PR, Haget Y, Bonpunt L, Chanh NB, Cuevas-Diarte MA, Molecular mixed crystals from a macroscopic thermodynamic point of view, 329 – *See* Cuevas Diarte MA *et al*, 509
Orland H – *See* Garel T *et al*, 2473 – *See* Garel T *et al*, 2479
Ortí E – *See* Torrens F *et al*, 2435
Orts JM – *See* Feliu JM *et al*, 1493
Ouazzani M – *See* Addou M *et al*, 343
Oudar J – *See* Vassilakis D *et al*, 209
Ouichou L – *See* Diouri A *et al*, 2341
Ouvrard BN – *See* Ouvrard JM *et al*, 271
Ouvrard JM, Ouvrard BN, Courtieu J, Bases mathématiques et physiques de la résonance magnétique nucléaire, 271
Overington J – *See* Hoffrén AM *et al*, 2659

P

Padilla A – *See* Chiche L *et al*, 2557
Pajonk GM, Conversion of hydrocarbons into nitriles by catalytic nitroxidation, 547
Paletto J – *See* Ngoma JB *et al*, 2275
Paquette B, Ali H, van Lier JE, Phtalocyanines pour la thérapie photodynamique du cancer : effet des substituants tertio-butyles sur l'accumulation cellulaire et l'activité photodynamique de phtalocyanines sulfonées de gallium, 1113
Parsons R – *See* Molina FV, 1339
Pasquenelli M – *See* M'Gafad N *et al*, 2211
Peeters D, Leroy G, Structure and properties of $H_5O_2^+$, 411
Pelton AD – *See* Dessureault Y, 1811
Pena O – *See* Sergent M *et al*, 2123
Perahia D – *See* Simonson T *et al*, 2701
Perez J – *See* Ngoma JB *et al*, 2275
Pernot P – *See* Kinany-Alaoui M *et al*, 2001
Perrin A – *See* Sergent M *et al*, 2123
Perrin C – *See* Simon D *et al*, 351 – *See* Ihmaine S *et al*, 1993 – *See* Sergent M *et al*, 2123
Pietrzyk S – *See* Bencheikh A *et al*, 2363
Pineda T, Blázquez M, Izquierdo R, Domínguez M, García-Blanco F, Hydration of the pyridoxal-5'-phosphate. An electrochemical study, 371
Piraux L – *See* Kinany-Alaoui M *et al*, 2001
Pitea D – *See* Bonati L *et al*, 2631 – *See* Cosentino U *et al*, 2639
Platzer O – *See* Amblard J *et al*, 835
Poilblanc R – *See* El Amane M *et al*, 2067
Polverelli M – *See* Mouret JF *et al*, 1053
Popović K – *See* Tripković A *et al*, 1635
Potel M – *See* Sergent M *et al*, 2123
Poulet G – *See* Lançar IT *et al*, 1777
Protopopoff E, Marcus P, Effects of chemisorbed sulphur on the hydrogen adsorption and evolution on metal single crystal surfaces, 1423

Q

Quarton M – *See* Arsalane S *et al*, 1951

Quéinnec E, Gardès-Albert M, Ducancel F, Goyffon M, Ferradini C, Vuillaume M, Étude cinétique des propriétés catalytiques de l'hémocyanine de scorpion, 927
Quemerais A – *See* Ihmaine S *et al*, 1993

R

Raffi J – *See* Triolet J *et al*, 1237
Raffi JJ, Méthodes d'identification des aliments ionisés, 1227
Rafiq M – *See* Loukili M *et al*, 1975 – *See* Bentama J *et al*, 2291
Rahmouni A – *See* Kochanski E *et al*, 2451
Rajerison W – *See* Chrisment J *et al*, 1757
Ramos M – *See* Nuñez-Vergara LJ *et al*, 71
Ramstein J – *See* Briki F *et al*, 2567
Rassat A – *See* Coulombeau C, 173 – *See* Coulombeau C, 665
Ravanat JL, Berger M, Buchko GW, Bénard JF, van Lier JE, Cadet J, Photooxydation sensibilisée de la désoxy-2' guanosine par des phtalocyanines et naphtalocyanines. Détermination de l'importance des mécanismes de type I et de type II, 1069
Ravez J – *See* Bonnet JP *et al*, 2097
Reddy MR, Bacquet RJ, Varney M, Tautomerization of N_6,N_6-dimethyl 2,6-diamino benz[*cd*]indole in the gas phase and in aqueous solution: a combined quantum mechanical and free energy perturbation study, 2605
Remita H, Derai R, Delcourt MO, Clusters métalliques moléculaires synthétisés par voie radiolytique, 845
Ribière C – *See* Malhaire JP *et al*, 945 – *See* Santiard D *et al*, 967
Richards WG – *See* Menziani MC *et al*, 2687
Rivail JL – *See* Loos M *et al*, 2465 – *See* Viviani W *et al*, 2505
Rivalle C – *See* Sekaki A *et al*, 977
Rodes A – *See* Clavilier J *et al*, 1291
Rodríguez-Castellón E, Maireles-Torres P, Olivera-Pastor P, Jiménez-López A, Sur l'orientation de molécules basiques dans l'espace interlamellaire du phosphate d'étain, 2007
Roleder K – *See* Hafid M *et al*, 2249
Romero C, La dynamique moléculaire appliquée à l'étude des couches d'hydratation de l'électron hydraté et des ions Li^+ et Cl^-, 765
Romm FA, L'étude et la solution des contradictions dans la méthode thermodynamique de description des bulles critiques dans les liquides, 1865
Roque JP – *See* Lamaty G *et al*, 1793
Rosinberg ML – *See* Armand D, 1401
Ross PN Jr, The role of defects in the specific adsorption of anions on Pt(111), 1353
Roth AP – *See* Fortin ER, 2197
Ruimy-Ifrah P, Jore D, Christen MO, Dansette P, Mansuy D, Ferradini C, Étude radiolytique de réactions radicalaires du sulfarlem, 907

S

Saadi L, Jabry E, Moussa R, Caractérisation physico-chimique d'argiles marocaines, 2347
Sabourault D – *See* Malhaire JP *et al*, 945 – *See* Santiard D *et al*, 967
Saillard JY – *See* Boucekkine A *et al*, 2107
Salardenne J – *See* Addou M *et al*, 343 – *See* Bourezg R *et al*, 1975
Salem MA, Kinetics and mechanism of oxidation of 2-methyl-4-N,N-diethylamino stilbazolium iodide cyanine dye with peroxydisulphate, 471
Saloheimo M – *See* Hoffrén AM *et al*, 2659
Sanche L – *See* Vézina C, 717
Sanchez C – *See* Lecomte M *et al*, 39
Sánchez-Marín J – *See* Torrens F *et al*, 2435
Santiard D, Sabourault D, Ribière C, Nordmann R, Houée-Levin C, Ferradini C, Production du radical acétyle : étude radiolytique comparée des radicaux libres issus de l'acétaldéhyde et de l'éthylène-glycol, 967
Sassi O – ***, Dumas JP, Transformations de phases d'alliages métalliques à l'état dispersé, 2035 – ***, Aride J, Moya G, Berrada A, Propriétés magnétiques des défauts trempés dans les alliages CoGa, 2191
Schaeffer F – *See* Yeramian E *et al*, 2717
Schlenkrich M – *See* Böcker J *et al*, 2535
Schmidt-Szalowski K, Zarebski W, Role of surface discharges in catalytic ozone

synthesis, 1849
Schmitz G, Étude du Braylator par la méthode de Clarke, 15
Schuchmann HP – *See* von Sonntag C *et al*, 987
Schuffenecker L – *See* Barbillon P *et al*, 91
Sekaki A, Gardès-Albert M, Houée-Levin C, Ferradini C, Rivalle C, Bisagni E, Hickel B, Oxydation monoélectronique d'un composé antitumoral dérivé de l'ellipticine : le BD84, 977
Sergent M – *See* Ihmaine S *et al*, 1993 – ***, Perrin C, Ihmaine S, Perrin A, Ben Yaich H, Pena O, Chevrel R, Gougeon P, Potel M, Matériaux à clusters en chimie du solide, 2123
Serratrice G, Béguin CG, Nicolas F, Vincens M, Mollier H, Étude cinétique de la réaction du complexe 1,4,8,11-tétraazacyclotétradécane-1,4,8,11-tétra(méthylène phosphonato) ferrate (III) avec l'ion cyanure, 55
Servant Y – *See* Haddad M *et al*, 2013
Sevely J – *See* Hssein K *et al*, 2335
Shamovski IL, Yarovskaya IY, Computer molecular simulation of tocopherol/two phospholipid complexes, 2675
Sies H – *See* Di Mascio P *et al*, 1061
Siffert B – *See* Hamieh T, 537
Siffert P – *See* Barhdadi *et al*, 2217 – *See* Muller JC *et al*, 2223
Simon D, Boualam M, Perrin C, Adaptation de la réduction électrochimique à l'identification et à l'évaluation de la quantité des composés formés lors de la contamination du cuivre par le chlore, 351
Simonson T, Perahia D, Bricogne G, Brünger A, Dielectric properties of proteins: microscopic and macroscopic theory, 2701
Slanina Z, A comparison of BJH- and MCYL-type potentials for the water dimer, 2381
Smart OS, Simulation of a conformational rearrangement of D-xylose in D-xylose isomerase, 2669
Smith J – *See* Garel T *et al*, 2479 – *See* Garen J *et al*, 2587
Solmajer TJ – *See* Mehler EL, 2411
Somrani S – *See* Ben Cherifa A *et al*, 1893
Soriaga MP – *See* Berry GM *et al*, 1591
Soubeyroux JL – *See* le Lirzin A *et al*, 2173
Soulie E – *See* Chachaty C *et al*, 153
Sourisseau C – *See* Guillaume F *et al*, 1721
Squella JA – *See* Nuñez-Vergara LJ *et al*, 71
Srhiri A – *See* Aride J *et al*, 631
States DJ – *See* Stote RH *et al*, 2419
Stawarz B – *See* Genest M *et al*, 2573
Steinbrunn A – *See* Tahri A, 129
Stote RH, States DJ, Karplus M, On the treatment of electrostatic interactions in biomolecular simulation, 2419
Strobbe M, Ceulemans J, Recherche sur la présence d'ions piégés, formés par réaction de condensation entre des ions radicalaires du pentane et différents alcanes neutres, dans des matrices solides à 77 K, 1167
Stuck R – *See* Barhdadi *et al*, 2217
Sueur S – *See* Lagrenee M *et al*, 2075
Sundquist AR – *See* Di Mascio P *et al*, 1061
Swallow AJ, Traitement des aliments par rayonnements ionisants : applications, salubrité et législation, 1217

T

Tabourier P – *See* Carru JC *et al*, 307
Tahri A, Steinbrunn A, Étude expérimentale de la conductivité électrique du molybdate de nickel $NiMoO_4$, 129
Taillandier E – *See* Letellier R *et al*, 2681
Teebor GW – *See* Boorstein RJ *et al*, 1043
Teeri TT – *See* Kuuti L *et al*, 2663
Tessa N – *See* Joly G *et al*, 615 – ***, Tyburce B, Joly G, Influence de l'échange cationique sur les caractéristiques physicochimiques de la zéolite 4A, 603
Thiéry C – *See* Triolet J *et al*, 1237
Thomas P – *See* Hoffrén AM *et al*, 2659
Tilquin B – *See* Zeegers F, 1137 – ***, Doncker J (de), Radiolyse des alcanes en phase liquide : nouvelles évidences expérimentales et nouveau schéma radiolytique, 1195 – ***, Apports de la radiolyse des alcanes à celle des polymères, 1209
Tondeur D – *See* Corriou JP *et al*, 2645
Torrens F, Ortí E, Sánchez-Marín J, Vectorized TOPO program for the theoretical simulation of molecular shape, 2435
Touabet A, Guermouche MH, Mécanisme de la réaction entre le diphényl mercure et le chlorure de méthyl mercure : étude par chromatographie en phase

liquide, 487
Tourbez H – *See* Favaudon V *et al*, 993
Tran-Thi TH, Ali H, Lipskier JF, Gaspard S, van Lier JE, Transferts intramoléculaires d'énergie dans les dimères mixtes de porphyrines et de phtalocyanines, 1151
Tressaud A – *See* le Lirzin A *et al*, 2173
Triolet J, Thiéry C, Battesti C, Agnel JP, Raffi J, Vincent P, Étude par piégeage de spin de la radiolyse gamma du saccharose, 1237
Tripković A, Popović K, Adžić RR, Structural effects in electrocatalysis: oxidation of formic acid on single crystal platinum electrodes and evidence for oscillatory behaviour, 1635
Tyburce B – *See* Tessa N *et al*, 603 – *See* Joly G *et al*, 615

V

van der Linde PR – *See* Oonk HAJ *et al*, 329
van Lier JE – *See* Cadet J *et al*, 1021 – *See* Ravanat JL *et al*, 1069 – *See* Paquette B *et al*, 1113 – *See* Tran-Thi TH *et al*, 1151
Vanderveken DJ, Baudoux G, Durant F, Vercauteren DP, Komit: an interactive molecular modelin program based on the PHIGS standard, 2497
Vangélisti R – *See* Kinany-Alaoui M *et al*, 2001
Varga K – *See* Wieckowski A *et al*, 1247
Varney M – *See* Reddy MR *et al*, 2605
Vassilakis D, Barbouth N, Oudar J, Ethylene hydrogenation and H-D exchange mechanisms over polycrystalline platinum: influence of sulfur, 209
Velikson B – *See* Garel T *et al*, 2473 – *See* Garel T *et al*, 2479
Vercauteren DP – *See* Vanderveken DJ *et al*, 2497
Vézina C, Sanche L, Les phénomènes ultra-rapides en chimie sous rayonnement, 717
Viana B – *See* Lecomte M *et al*, 39
Vincens M – *See* Serratrice G *et al*, 55
Vincent P – *See* Triolet J *et al*, 1237
Viviani W, Rivail JL, Csizmadia IG, *Ab-initio* SCF calculations on conformational space of peptides models, 2505
Voltz R – *See* Jung JM *et al*, 779
von Sonntag C, Zhang X, Schuchmann HP, Nouveaux aspects de la chimie des thiols et des disulfures sous rayonnement en solution aqueuse, 987
Vuillaume M – *See* Quéinnec E *et al*, 927 – ***, Rayonnements, cancérisation humaine et radiorésistance, 1105

W

Wacrenier JM – *See* Carru JC *et al*, 307
Wagner RJ – *See* Cadet J *et al*, 1021
Wallart F – *See* Lorriaux-Rubbens A *et al*, 2041 – *See* Lorriaux-Rubbens A *et al*, 2057
Wallqvist A – *See* Astrand PO *et al*, 2457
Weaver MJ – *See* Chang SC *et al*, 1615
Westhof E – *See* Fritsch V, 2543
Wieckowski A, Zelenay P, Varga K, A comprehensive study of bisulfate adsorption on Pt(111) by radioactive labeling and voltammetry, 1247
Wierzbicki M – *See* Andriamadio P *et al*, 689
Wiest R – *See* Kochanski E *et al*, 2451
Wignacourt JP – ***, Drache M, Conflant P, Boivin JC, Nouvelles phases du système Bi_2O_3-$BiPO_4$. I. Description du diagramme de phases, 1933 – ***, Drache M, Conflant P, Boivin JC, Nouvelles phases du système Bi_2O_3-$BiPO_4$. II. Structure et propriétés électriques d'une solution solide de type sillénite, 1939 – *See* Lorriaux-Rubbens A *et al*, 2041 – *See* Lorriaux-Rubbens A *et al*, 2057 – *See* Lagrenee M *et al*, 2075
Wipff G – *See* Boudon S, 2443 – *See* Auffinger P, 2525
Wodak SJ – *See* Gordon-Beresford RMH *et al*, 2653
Wolf C – *See* Chachaty C *et al*, 153
Wormer PES – *See* Kochanski E *et al*, 2451

Y

Yarovskaya IY – *See* Shamovski IL, 2675
Yeramian E, Schaeffer F, Caudron B,

Claverie P, Buc H, An integrated theoretical, methodological and experimental framework for the study of sequence-specific configurational transitions in biological macromolecules, 2717

Z

Zamai M – *See* Menziani MC *et al*, 2687
Zamakhchari MA – *See* Clavilier J *et al*, 1291
Zambon D – ***, El-Ghozzi M, Avignant D, Ben Said N, Mansouri I, Étude cristallographique, infra-rouge et Raman de nouveaux fluorophosphates de terres rares de structure zircon, 1963 – *See* Aamili A *et al*, 2321
Zanchi G – *See* Hssein K *et al*, 2335
Zarebski W — *See* Schmidt-Szalowski K, 1849
Zeegers F, Tilquin B, Radiolyse gamma de médicaments : cas du chloramphénicol, 1137
Zelenay P – *See* Wieckowski A *et al*, 1247
Zhang X – *See* von Sonntag C *et al*, 987
Zichi DA – *See* Fleischman SH, 2617
Ziyad M – *See* Bencheikh A *et al*, 2363

LOUIS-JEAN 05003 GAP CEDEX